

무연솔더를 이용한 무플럭스 플립칩 패키지에서 플라즈마 처리에 따른 접합 미세조직에 관한 연구

A study on the microstructure of lead free soldering
for fluxless flip chip package

문 준권*, 정 재필*, 하 준석**, 강 춘식**

* 서울시립대학교 공과대학 재료공학과

** 서울대학교 공과대학 재료공학부

1. 서 론

솔더링에 사용되는 Sn37Pb 솔더의 독성으로 인하여 새로운 무연솔더에 관한 연구가 많이 진행되어 왔다¹⁾. 그리고 또한 문제점으로 대두되고 있는 것이 플럭스의 사용에 관한 것이다. 플럭스는 솔더의 산화막을 제거하는데 필수적이다. 하지만 잔류 플럭스는 접합부의 부식을 유발하는 등의 전자패키지에서 악영향을 끼치고²⁾, 또한 잔류 플럭스 제거제의 환경오염 등의 문제³⁾로 무플럭스 솔더링에 대한 관심이 크게 증대되고 있다. 무플럭스 솔더링의 방법에는 여러 가지가 있으며, 그 중 한가지가 플라즈마를 이용한 방법이다⁴⁾. 본 연구에서는 솔더표면의 이물질과 산화막을 제거하기 위한 플라즈마 처리가 접합 후, 접합부에 미치는 영향에 대해서 알아보았다. 사용된 솔더는 Sn37Pb, Sn3.5Ag와 Sn3.5Ag0.7Cu 솔더볼이다. 열풍 및 적외선 겸용 리플로 머신과 Ar+H₂를 이용한 플라즈마 에처를 사용하여 Si-wafer 위에 범프를 형성하였다. 플라즈마 처리가 계면의 미세조직과 기계적 강도에 끼치는 영향을 알아보기 위하여 플라즈마 처리된 시편과 리플로 한 후의 시편을 비교 분석하였다. 전 단시험기로 계면의 강도를 측정하였으며, 주사전자현미경으로 계면 및 전단파면을 관찰하여 UBM의 종류에 따른 접합계면의 미세조직도 비교하고 이에 대하여 고찰하였다. 산화막 제거를 위한 플라즈마 처리가 저용접인 솔더의 미세조직을 기존의 솔더링 접합부와는 다르게 변화시킴으로써 솔더의 전체적인 특성에 영향을 끼치는 것을 알 수 있었다.

2. 실험방법 및 결과

무플럭스 솔더링의 한가지 종류인 플라즈마 처리가 접합 후, 접합부에 미치는 영향을 알아보기 위해 플라즈마 처리된 시편과 리플로 한 후의 시편의 접합강도를 비교하고, 파단면 및 접합계면을 관찰하였다.

2.1 전단강도

Si wafer위에 Au/Cu/Ni/Al-UBM을 적층시키고, 그 위에 직경 0.5mm의 세가지 조성(Sn37Pb, Sn3.5Ag, Sn3.5Ag0.7Cu)의 솔더볼을 이용하여 플라즈마 에처와 리플로 머신으로 범프를 형성하였다. 그림 1은 범프를 형성하는 방법에 따른 세가지 솔더의 전단강도를 나타낸 그래프이다. 세 솔더 모두 플라즈마 처리를 이용한 무플럭스 솔더링보다 플럭스를 도포한 후 리플로 솔더링한 시편의 강도가 높게 나타났다. Sn37Pb 솔더, Sn3.5Ag 솔더, Sn3.5Ag0.7Cu 솔더의 강도는 플라즈마 처리로 무플럭스 솔더링을 시행하였을 경우 각각 33.5MPa, 11.7MPa, 15.1MPa로 측정되었다. 리플로 솔더링을 시행하였을 때는 50.3MPa, 40.3MPa, 32.4MPa의 전단강도 값을 나타냈다.

2.2 미세구조

플라즈마 처리시 계면반응을 규명하기 위하여 주사전자현미경을 이용하여 전단 파면과 접합 계면을 관찰하고 리플로 솔더링시와 비교하였다. 그리고 EDX(Energy Dispersive X-ray)를 사용하여 계면에 형성된 금속간 화합물의 성분을 분석하였다.

그림 2는 플라즈마 처리와 리플로 솔더링으로 Sn37Pb 솔더, Sn3.5Ag 솔더와 Sn3.5Ag0.7Cu 솔더 범

프를 형성한 후 전단강도 테스트시의 파면을 나타내고 있다. 세 솔더 모두 플라즈마 처리를 하였을 때는 UBM층에서 파단이 일어났고, 리플로 시에는 솔더내에서 파단이 일어났다.

그림 3은 Sn3.5Ag0.7Cu 솔더의 접합계면이다. 그림 3(a)는 플라즈마 처리 후의 계면이고, 그림 (b)는 리플로 후의 계면이다. 플라즈마 처리를 한 후에는 Ni이 50at.%이상 함유한 금속간화합물이 생성하였고, 이 때 Ni층의 소진으로 금속간화합물층과 기판이 분리되었다. 리플로 한 후에는 Ni의 함량이 8.4at.%인 금속간화합물이 생성되었고, Ni층이 완전히 소진되지 않았기 때문에 기판과의 분리는 일어나지 않았다.

3. 결론

Au/Cu/Ni/Al thin-film UBM을 적층한 기판에 Sn37Pb솔더, Sn3.5Ag솔더 그리고 Sn3.5Ag0.7Cu솔더를 이용하여 플라즈마 처리를 한 시편과 리플로 솔더링을 시행한 시편을 비교하여 다음과 같은 결론을 얻었다.

- 1) Sn37Pb솔더, Sn3.5Ag솔더와 Sn3.5Ag0.7Cu솔더의 전단강도는 플라즈마 처리를 이용한 무플렉스 솔더링 시행시에 33.5MPa, 11.7MPa, 15.1MPa로 리플로를 한 후의 50.3MPa, 40.3MPa, 32.4MPa보다 낮았다.
- 2) 전단파면 관찰결과 플라즈마 처리를 이용한 무플렉스 솔더링 시행시에는 금속간화합물과 UBM 층 사이에서 파단이 일어났으며, 리플로 솔더링을 하였을 때에는 솔더내에서 파단이 일어났음을 알 수 있었다.
- 3) 접합계면 분석결과 플라즈마 처리를 이용한 무플렉스 솔더링 시행시에는 UBM내의 Ni층이 모두 반응하여 Ni을 50%이상 함유한 금속간화합물을 생성하였으며, 다량의 Ni층 소진으로 인해 금속간화합물층과 기판이 분리되었다. 리플로 솔더링을 시행한 시편은 Ni이 8.4%로 소량 함유한 금속간화합물이 생성되었으며, 금속간화합물층과 기판과의 분리는 발생하지 않았다.

참고문헌

1. K. Saganuma and Y. Nakamura : J. Japan Inst. Metal, 59-12(1995), pp.1299-1305
2. M. Bixenaman and E. Miller : Pro. 5th Int. Joint Symp. on Microelec. & Packaging, IMAPS-KOREA and IEEE-CPMT, Seoul, Korea, (2000) 45
3. M. J. Molina and F.S. Rowland : Natrue, 249 (1974)810
4. Masahiko et al.: Proc. of Electronic Components and Technology Conference (1999) p.408

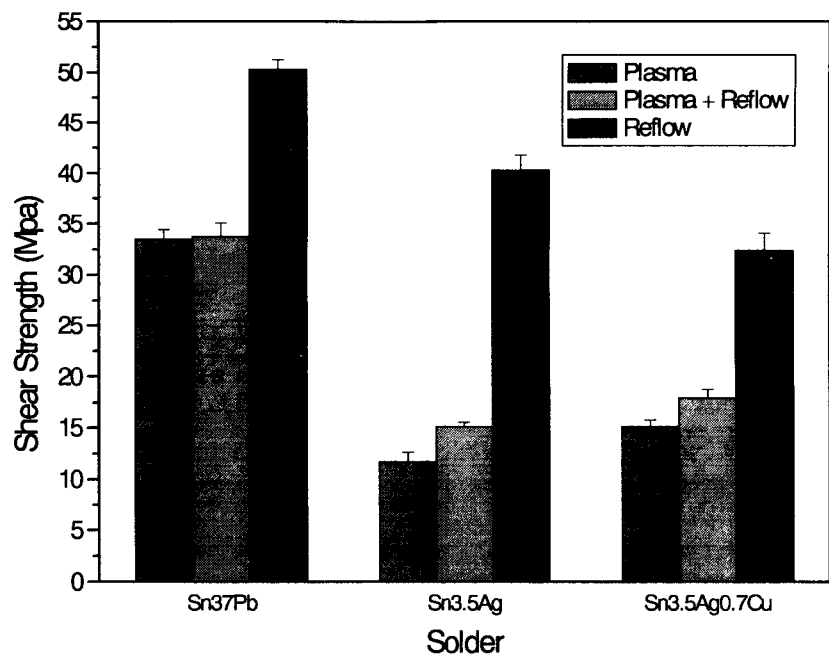


Fig. 1 Shear strength of solder bump (Solder : Sn37Pb, Sn3.5Ag, Sn3.5Ag0.7Cu).

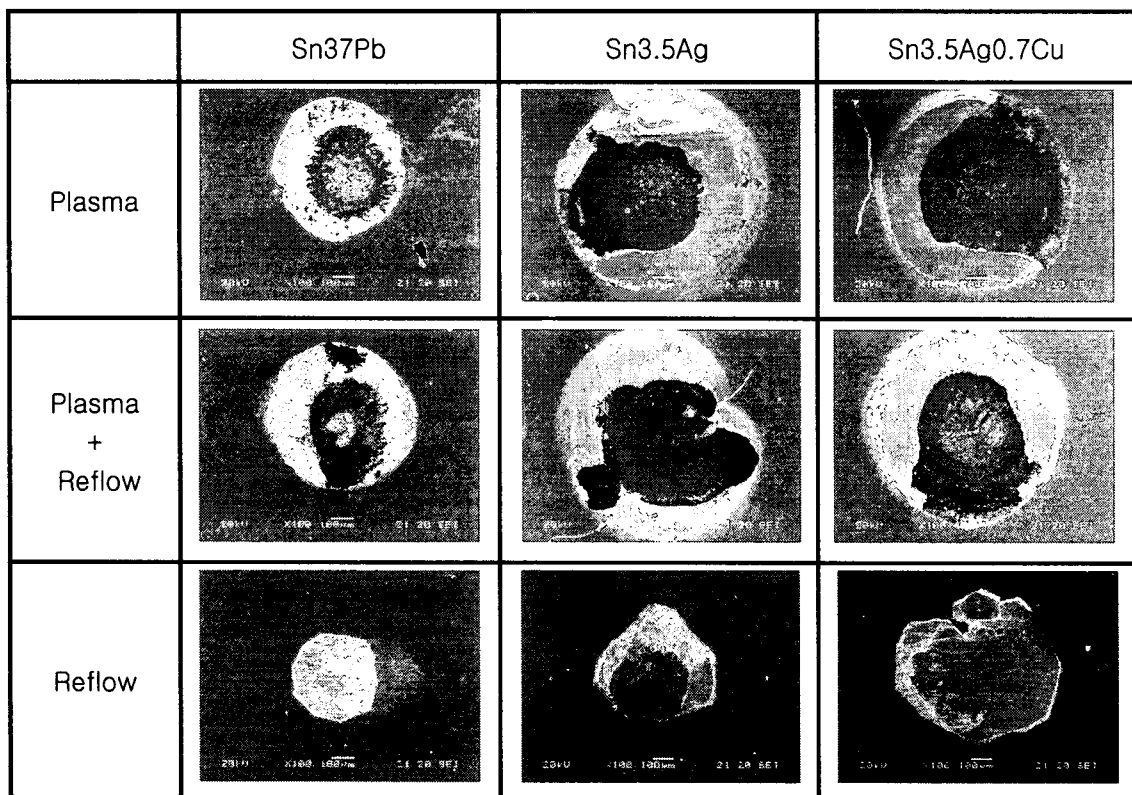


Fig. 2 Fracture surfaces of solder bump after shear test (Solder : Sn37Pb, Sn3.5Ag, Sn3.5Ag 0.7Cu).